

## 4.2 Isotropic Vectors

Мы начинаем этот раздел с рассмотрения несколько нелогичного математического объекта. Мы видели, что точки  $(x, y)$  в декартовой плоскости можно рассматривать как “конечные точки” вещественных векторов  $OP = (x, y)$ . Теперь рассмотрим уравнение

$$x^2 + y^2 = 0, \quad (4.1)$$

который в поле действительных чисел имеет только тривиальное решение  $x = 0, y = 0$ . Но, используя комплексные числа, (4.1) может быть учтено с помощью

$$x^2 + y^2 = x^2 + y^2 - ixy + ixy = (x + iy)(x - iy) = 0. \quad (4.2)$$

Отсюда следует, что все точки на комплексных прямых

$$y = \pm ix \quad (4.3)$$

принадлежат окружности нулевого радиуса (4.1)! Конечно, “магия” возникает при использовании комплексных координат; тем не менее удивительно, что бесконечно малая окружность может разделиться на две прямые линии.

Давайте теперь рассмотрим два вектора  $Z_1, Z_2$ , принадлежащих, соответственно, двум прямым (4.3)

$$z_1 = (1, i), \quad z_2 = (1, -i). \quad (4.4)$$

(Мы не обозначаем эти векторы через  $z_1, z_2$ , поскольку, будучи комплексными, они не принадлежат нашему физическому пространству). Обратите внимание, что каждый  $z^2 = 0$  ( $z^2$  не следует путать с  $z * z$ ). Эти комплексные векторы обладают очень интересным свойством быть *инвариантными при вращении*.

Все векторы можно поворачивать, но  $z_1, z_2$  остаются фиксированными. Применение матрицы вращения (см. главу 2) к  $z_1$ , мы находим:

$$R z_1 = \begin{vmatrix} \cos \theta & -\sin \theta \\ \sin \theta & \cos \theta \end{vmatrix} \begin{vmatrix} 1 \\ i \end{vmatrix} = \begin{vmatrix} \cos \theta - i \sin \theta \\ \sin \theta + i \cos \theta \end{vmatrix} = (\cos \theta - i \sin \theta) \begin{vmatrix} 1 \\ i \end{vmatrix} = e^{-i\theta} z_1. \quad (4.5)$$

Мы видим, что  $Z_1$  и  $Z_2$  являются собственными векторами матрицы вращения для любого значения  $\theta$  с соответствующими собственными значениями  $e^{\mp i\theta}$ , которые являются просто фазовыми коэффициентами величины 1;  $Z_1$  и  $Z_2$  называются *изотропными векторами*.

Если мы остаемся в вещественной плоскости  $R^2$  или в ее комплексном обобщении  $C^2$  (двухкомпонентные комплексные векторы), других инвариантных векторов относительно матрицы вращения нет. Но если мы рассмотрим вращения в физическом трехмерном пространстве  $R^3$ , то существует еще одно инвариантное направление - направление оси вращения. Например, рассматривая вращение  $R_z$  в плоскости  $x-y$

$$R_z = \begin{vmatrix} \cos \theta & -\sin \theta & 0 \\ \sin \theta & \cos \theta & 0 \\ 0 & 0 & 1 \end{vmatrix}. \quad (4.6)$$

Вращение происходит вокруг оси  $z$ , а изотропные векторы  $Z_1, Z_2$  (мы используем заглавные буквы, чтобы указать, что теперь они трехмерны):

$$Z_1 = (1, i, 0), \quad Z_2 = (1, -i, 0). \quad (4.7)$$

В дальнейшем мы увидим, что изотропные векторы тесно связаны с представлением спина для элементарных частиц.

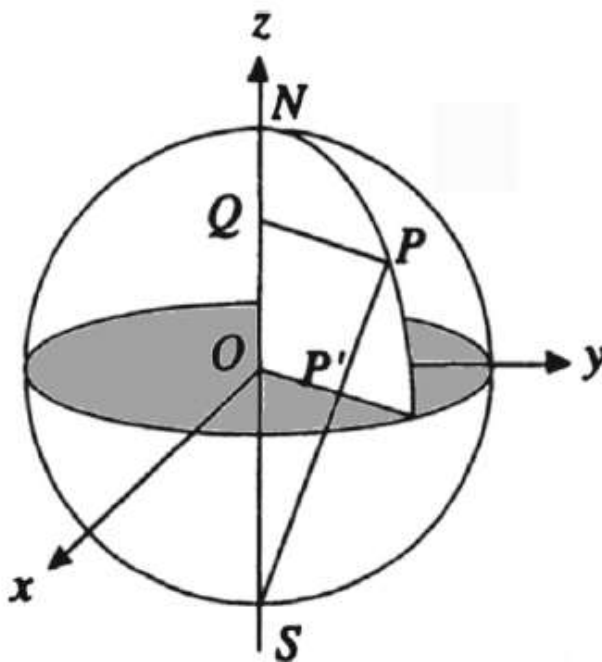
Случайное философское наблюдение: люди существовали сотни тысяч лет, прежде чем нашли техническое применение оси вращения, а именно колесу; математики поняли важность изотропных векторов  $Z_1, Z_2$  всего столетие назад. Но Природа знала о них все с незапамятных времен, неявно используя их во вращении звезд и планет и во вращении частиц.

### 4.3 The Stereographic Projection

Элегантный способ ввести квантово-механический спин частиц состоит в том, чтобы установить соответствие между точками  $P$  с координатами  $(x, y, z)$  на сфере радиуса 1, удовлетворяющий уравнению

$$x^2 + y^2 + z^2 = 1, \quad (4.8)$$

и точки в комплексной плоскости. Мы также увидим, что существует тесное соответствие между двумя изотропными направлениями,  $Z_1, Z_2$  в уравнении (4.7) и представлением спиновых состояний, которые демонстрируют аналогичное поведение при вращении. Кроме того, как мы увидим, математическое описание вращения обязательно будет включать комплексные переменные.



**Рис. 4.6** Стереографическая проекция единичной сферы с южного полюса  $S$  на плоскость  $z = 0$ . Она отображает северное полушарие на область лежащую внутри единичной окружности. Южное полушарие отображается на область за пределами единичной окружности. Экватор совпадает с единичной окружностью. Чем ближе  $P$  к  $S$ , тем дальше  $P'$  от  $O$  в заштрихованной плоскости.

Пусть  $O(0, 0, 0)$  - центр сферы,  $N(0, 0, 1)$  - северный полюс, а  $S(0, 0, -1)$  южный полюс (см. рис. 4.6). Пусть  $P'(x', y', 0)$  - пересечение прямой  $SP$  с экваториальной плоскостью  $z = 0$ , а  $Q(0, 0, z)$  – проекция  $P(x, y, z)$  на ось  $z$ .  $P'$  называется стереографической проекцией  $P$ . Из подобных треугольников  $SOP'$  и  $SQP$  мы находим:

$$\frac{x'}{x} = \frac{y'}{y} = \frac{SO}{SQ} = \frac{1}{1+z}. \quad (4.9)$$

Теперь введем в плоскости  $z = 0$  комплексную переменную  $\zeta$

$$\zeta = x' + iy' = \frac{x + iy}{1 + z}, \quad (4.10)$$

Полезно записать  $\zeta$  как отношение двух комплексных чисел

$$\zeta = \frac{\phi}{\psi}, \quad \phi = \alpha(x + iy), \quad \psi = \alpha(1 + z), \quad (4.11)$$

где  $\alpha$  - константа, подлежащая определению. Возможно, мы могли бы предположить, что вектор  $(\psi, \phi)$  может представлять квантово-механическое спиновое состояние, связанное с фундаментальными частицами материи: электронами, протонами, нейтронами и т.д. Термин "спин" подразумевает вращение, поскольку пионеры квантовой теории первоначально представляли электрон в виде крошечной вращающейся сферы. В нашем случае ось вращения параллельна  $P(x, y, z)$ . Например, если вращение происходит вокруг оси  $z$ , один изотропный вектор может быть  $\begin{pmatrix} 1 \\ 0 \end{pmatrix}$ , соответствующий состоянию *spin-up*. Спиновое состояние представлено спинором  $\begin{pmatrix} \psi \\ \phi \end{pmatrix}$ , принадлежащему  $C^2$  - двумерному комплексному векторному пространству. Два вектора  $|u\rangle, |v\rangle$  образуют ортонормированный базис в  $C^2$ , если они имеют единичную длину и ортогональны

$$\langle \mathbf{u} | \mathbf{u} \rangle = \langle \mathbf{v} | \mathbf{v} \rangle = 1, \quad \langle \mathbf{u} | \mathbf{v} \rangle = 0. \quad (4.12)$$

Поскольку квантовые состояния представлены векторами единичной длины, спинор  $|\Psi\rangle = \begin{pmatrix} \psi \\ \phi \end{pmatrix}$  должен подчиняться условию

$$\langle \Psi | \Psi \rangle = \psi^* \psi + \phi^* \phi = |\psi|^2 + |\phi|^2 = 1. \quad (4.13)$$

Используя (4.8) и (4.11) найдем

$$|\psi|^2 + |\phi|^2 = |\alpha|^2 [x^2 + y^2 + (1+z)^2] = |\alpha|^2 (2+2z) = 1, \quad (4.14)$$

которое определяет постоянную  $\alpha$

$$|\alpha| = \frac{1}{\sqrt{2(1+z)}}. \quad (4.15)$$

с точностью до фазового коэффициента  $e^{i\varphi}$ . Взяв комплексное сопряжение из (4.11), мы имеем

$$\psi^* = \alpha^* (1+z), \quad \phi^* = \alpha^* (x - iy). \quad (4.16)$$

Из уравнений (4.11) и (4.14) вытекают следующие соотношения между спинором  $|\Psi\rangle = \begin{pmatrix} \psi \\ \phi \end{pmatrix}$  и вектор  $\vec{OP} = (x, y, z)$  может быть выведено:

$$x = \psi \phi^* + \psi^* \phi, \quad y = i(\psi \phi^* - \psi^* \phi), \quad z = \psi \psi^* - \phi \phi^*. \quad (4.17)$$

Путем элементарных вычислений, используя (4.8):

$$\begin{aligned} (1) & |\alpha|^2 [(1+z)(x-iy) + (1+z)(x+iy)] = 2|\alpha|^2 (1+z)x = x; \\ (2) & i|\alpha|^2 [(1+z)(x-iy) - (1+z)(x+iy)] = 2|\alpha|^2 (1+z)y = y; \\ (3) & |\alpha|^2 [(1+z)^2 - x^2 - y^2] = |\alpha|^2 [(1+z^2 + 2z - x^2 - y^2)] = |\alpha|^2 [x^2 + y^2 + z^2 + z^2 + 2z - x^2 - y^2] = \\ & 2|\alpha|^2 (1+z)z = z. \end{aligned}$$

Обратите внимание, что в то время как спинор  $(\psi, \phi)$  однозначно определяет вектор  $\vec{OP}(x, y, z)$ , обратное неверно, поскольку  $\alpha$  определяется только с точностью до фазового коэффициента  $e^{i\varphi}$ . В частности, спинор  $|\Psi\rangle = (\psi, \phi)$  и спинор  $-|\Psi\rangle = (-\psi, -\phi)$  соответствуют одному и тому же вектору  $\vec{OP}(x, y, z)$ .

В начале этого раздела мы показали, что точке  $P(x, y, z)$  сферы радиуса 1 соответствует (с точностью до фазового коэффициента  $e^{i\varphi}$ ) комплексный спинор  $|\Psi\rangle = \begin{vmatrix} \psi \\ \phi \end{vmatrix}$  нормы 1. Легко проверить, что  $|\Psi\rangle$  является собственным вектором эрмитовой матрицы

$$H = H(\vec{OP}) = \begin{vmatrix} z & x - iy \\ x + iy & -z \end{vmatrix}, \quad (4.18)$$

с собственным значением +1:

$$\begin{aligned} H|\Psi\rangle &= \begin{vmatrix} z & x - iy \\ x + iy & -z \end{vmatrix} \begin{vmatrix} \psi \\ \phi \end{vmatrix} = \begin{vmatrix} z\psi + (x - iy)\phi \\ (x + iy)\psi - z\phi \end{vmatrix} = \\ &\alpha \begin{vmatrix} z(1+z) + x^2 + y^2 \\ (x + iy)(1+z) - z(x + iy) \end{vmatrix} = \alpha \begin{vmatrix} 1+z \\ x + iy \end{vmatrix} = \begin{vmatrix} \psi \\ \phi \end{vmatrix} = |\Psi\rangle. \end{aligned} \quad (4.19)$$

Обозначим через  $|\Phi\rangle = (X, Y)$  второй нормированный собственный вектор  $H$ ;  $|\Phi\rangle$  должен удовлетворять условиям

$$\langle\Phi|\Phi\rangle = 1, \quad \langle\Psi|\Phi\rangle = 0. \quad (4.20)$$

Таким образом,

$$X\psi^* + Y\phi^* = 0, \quad X^*X + Y^*Y = 1.$$

и мы можем установить:

$$X = \phi^*, \quad Y = -\psi^*,$$

и, следовательно,

$$|\Phi\rangle = \begin{vmatrix} \phi^* \\ -\psi^* \end{vmatrix}. \quad (4.21)$$

Очевидно, что  $H|\Phi\rangle = -|\Phi\rangle$ ; так что собственное значение  $|\Phi\rangle$  равно -1.

Матрица  $H$  представляет собой физическую наблюдаемую, проекцию вращения в направлении  $\vec{OP} = (x, y, z)$ . Возможные результаты измерения равны +1 или -1. В первом случае, после измерения спиновое состояние равно  $|\Psi\rangle$ , мы можем сказать, что спин параллелен  $\vec{OP}$ ; в последнем случае спиновое состояние равно  $|\Phi\rangle$ , а спин антипараллелен  $\vec{OP}$ . Эта интерпретация согласуется со следующим: изменяя  $\vec{OP}$  на  $-\vec{OP}$  мы получаем:

$$H(-\vec{OP}) = \begin{vmatrix} -z & -x + iy \\ -x - iy & z \end{vmatrix} = -H(\vec{OP}), \quad (4.22)$$

таким образом, собственные значения меняются местами

$$H(-\vec{OP})|\Psi\rangle = -|\Psi\rangle, \quad H(-\vec{OP})|\Phi\rangle = |\Phi\rangle. \quad (4.23)$$

Если  $x = y = 0, z = 1$ ,  $\vec{OP}$  совпадает с северным полюсом  $\vec{ON}$  и  $H$  диагональная матрица

$$H(\vec{ON}) = \begin{vmatrix} 1 & 0 \\ 0 & -1 \end{vmatrix}. \quad (4.24)$$

Собственные векторы равны  $e_1 = (1, 0)$  и  $e_2 = (0, 1)$ . Предположим, теперь мы измеряем  $H(\overline{ON})$  на произвольном спиноре  $|\Psi\rangle = (\psi, \phi)$ . Вероятности  $p_1, p_2$  получения результатов  $+1$  и  $-1$  соответственно

$$|\langle e_1 | \Psi \rangle|^2 = |\psi|^2, \quad |\langle e_2 | \Psi \rangle|^2 = |\phi|^2. \quad (4.25)$$

Из (4.11) и (4.15) мы видим, что вероятности  $p_1$  и  $p_2$  зависят только от  $z$

$$p_1 = |\psi|^2 = \frac{1+z}{2}, \quad p_2 = |\phi|^2 = \frac{1-z}{2}. \quad (4.26)$$

Этот результат является разумным: если  $\overline{OP} = \overline{ON}$ ,  $z = 1$ , так что  $p_1 = 1$  и  $p_2 = 0$ ; если  $\overline{OP} = \overline{OS}$  (южный полюс),  $z = -1$ ,  $p_1 = 0$  и  $p_2 = 1$ . Наконец, если  $\overline{OP}$  лежит где-то на экваториальной окружности,  $z = 0$ , и две вероятности равны:  $p_1 = p_2 = 1/2$ .

Как упоминалось в начале этого раздела, мы можем доказать, что существует соответствие между изотропными векторами и спинорами. Во-первых, давайте обобщим понятие изотропных векторов на произвольную плоскость. Уравнение

$$x^2 + y^2 + z^2 = 0 \quad (4.27)$$

допускает только решение  $x = y = z = 0$  в реальном поле. Однако в комплексной области существует бесконечное число решений. В плоскости  $z = 0$  мы находим инвариантные векторы  $Z_1, Z_2$  из уравнения (4.7). Например,  $x = 3, y = 4, z = 5i$  и т.д. Все эти векторы определяют анизотропное направление. Давайте теперь рассмотрим плоскость  $\pi$  через начало координат, и пусть  $X_1, X_2$  - два ортонормированных вектора, принадлежащих  $\pi$ . Пусть  $n$  - единичный вектор, ортогональный  $\pi$  (см. рис.4.7). Следовательно,  $\{X_1, X_2, n\}$  образует ортонормированный базис. Поскольку оба множества  $\{e_1, e_2, e_3\}$  и  $\{X_1, X_2, X_3\}$  являются ортонормированными базисами, мы можем использовать следующее соответствие между векторами, относящимися к плоскости  $z = 0$ , и векторами, принадлежащими  $\pi$  (таблица 4.1).

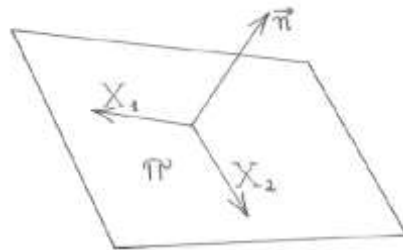


Рис. 4.7 Ось вращения  $n$  плоскости  $\pi$  и два ортонормированных вектора  $X_1, X_2$  лежащих в этой плоскости

Table 4.1 Relationship between vectors

Plane $z = 0$ normal $e_3 = (0, 0, 1)$	Plane $\pi$ normal $n$
$e_1 = (1, 0, 0), e_2 = (0, 1, 0)$	$X_1, X_2$
$Z_1 = e_1 + ie_2; Z_2 = e_1 - ie_2$	$Z_1 = X_1 + iX_2; Z_2 = X_1 - iX_2$

$Z_1 = X_1 + iX_2$  и  $Z_2 = X_1 - iX_2$  принадлежат  $\pi$ , поскольку  $X_1$  и  $X_2$  принадлежат этой плоскости, в то время как  $Z_1$  и  $Z_2$  являются изотропными направлениями в плоскости  $\pi$ . Действительно, мы можем записать, используя обычное (не эрмитово) скалярное произведение

$$(Z_1, Z_1) = (X_1 + iX_2, X_1 + iX_2) = (X_1, X_1) + i(X_1, X_2) + i(X_2, X_1) - (X_2, X_2) = +1 - 1 = 0, \quad (4.28)$$

и аналогично  $(Z_2, Z_2) = 0$ .

В качестве примера: пусть  $\mathbf{n}$  - вектор  $\frac{1}{\sqrt{3}}(1, 1, 1)$ , и  $\mathbf{R} = (x, y, z)$  произвольный вектор. Условие, что  $\mathbf{R}$  принадлежит  $\pi$ , равно  $(\mathbf{n}, \mathbf{R}) = 0$ , или

$$x + y + z = 0. \quad (4.29)$$

Мы можем выбрать:

$$\mathbf{X}_1 = \frac{1}{\sqrt{2}}(-1, 1, 0), \quad \mathbf{X}_2 = \frac{1}{\sqrt{6}}(1, 1, -2). \quad (4.30)$$

Таким образом, изотропные направления  $\pi$  могут быть выбраны как

$$Z_{1,2} = \left( -\frac{1}{\sqrt{2}} \pm \frac{i}{\sqrt{6}}, \frac{1}{\sqrt{2}} \pm \frac{i}{\sqrt{6}}, \mp 2i \right) \quad (4.31)$$

Возвращаясь к общему случаю, мы отождествляем единичный вектор  $\mathbf{n} = (n_1, n_2, n_3)$  с вектором  $\overrightarrow{OP}$  к сфере радиуса 1 в стереографической проекции (см. рис. 4.6). Мы по-прежнему обозначаем через  $\pi$  плоскость, проходящую через начало координат, ортогональную  $\mathbf{n}$ , и через  $Z_1 = (a, b, c)$ ,  $Z_2 = (a^*, b^*, c^*)$  два изотропных вектора  $\pi$ . Мы докажем следующее:

**Теорема 4.1** *Предположим, что спин частицы параллелен направлению  $\mathbf{n} = (n_1, n_2, n_3)$  физического пространства. Тогда две компоненты  $\psi, \phi$  соответствующего спинора связаны с изотропными направлениями  $\pi$  следующими простыми формулами:*

$$\psi^2 = \frac{1}{2}(a - ib), \quad \phi^2 = -\frac{1}{2}(a + ib), \quad -2\psi\phi = c \quad (4.32)$$

**Доказательство** Ясно (4.32) эквивалентно

$$a = \psi^2 - \phi^2, \quad b = i(\psi^2 + \phi^2), \quad c = -2\psi\phi. \quad (4.33)$$

Теорема может быть доказана в два этапа

- (1) Покажите, что вектор  $(a, b, c)$ , как определено уравнением (4.33), является изотропным;
- (2) Покажите, что он принадлежит  $\pi$ .

Шаг (1) выполняется легко, поскольку

$$a^2 + b^2 + c^2 = (\psi^2 - \phi^2)^2 - (\psi^2 + \phi^2)^2 + 4\psi^2\phi^2 = 0 \quad (4.34)$$

Чтобы доказать шаг (2), мы вычисляем скалярное произведение  $(a, b, c)$  с  $(n_1, n_2, n_3)$ ; но сначала давайте немного изменим (4.11), используя  $|\alpha| = \frac{1}{\sqrt{2(1+z)}}$ . Поскольку теперь  $(x, y, z) = (n_1, n_2, n_3)$ , мы имеем

$$\psi = \frac{1}{\sqrt{2(1+n_3)}}(1+n_3), \quad \phi = \frac{1}{\sqrt{2(1+n_3)}}(n_1 + in_2). \quad (4.35)$$

Из (4.35) и (4.33) имеем следующие выражения

$$a = \psi^2 - \phi^2 = \frac{1}{2(1+n_3)} \left[ (1+n_3)^2 - (n_1^2 - n_2^2 + 2in_1n_2) \right], \quad (4.36)$$

$$b = i(\psi^2 + \phi^2) = \frac{i}{2(1+n_3)} \left[ (1+n_3)^2 + (n_1^2 - n_2^2 + 2in_1n_2) \right], \quad (4.37)$$

$$c = -2\psi\phi = \frac{1}{2(1+n_3)} \left[ -2(1+n_3)(n_1 + in_2) \right]. \quad (4.38)$$

Пренебрегая общим фактором множителем  $\frac{1}{2(1+n_3)}$ , умножьте выражения (4.36)–(4.38) на  $n_1, n_2, n_3$ , соответственно и сложите три результата и докажите, что как действительная, так и мнимая часть  $(\mathbf{n}, Z_1) = an_1 + bn_2 + cn_3$  обращаются в нуль. Таким образом,  $(a, b, c)$  является изотропным вектором, принадлежащим  $\pi$ . Теорема доказана. Поскольку в формулах (4.32) и (4.33), квадраты  $\psi^2, \varphi^2$  линейно связаны с  $a, b, c$ , иногда предполагается, что “спиноры являются квадратными корнями из векторов”.

**Обратите внимание**, что двумерный вектор может быть представлен комплексным числом  $z = x + iy = re^{i\theta}$ .

Квадратный корень равен  $\sqrt{z} = \sqrt{x + iy} = \sqrt{r} \cdot e^{i\theta/2}$ , и содержит половинный угол, характерный для спиноров.

Давайте теперь рассмотрим, что происходит со спинором  $(\psi, \varphi)$ , когда мы выполняем *вращение*  $R$  в физическом пространстве. В простейшем случае  $R = R_z$  (уравнение (4.6)), поворот на угол  $\theta$  в плоскости  $xy$

$$R_z = \begin{vmatrix} \cos \theta & -\sin \theta & 0 \\ \sin \theta & \cos \theta & 0 \\ 0 & 0 & 1 \end{vmatrix}. \quad (4.39)$$

Из (4.7) нам известно, что

$$Z_1 = \begin{vmatrix} 1 \\ i \\ 0 \end{vmatrix} = \begin{vmatrix} a \\ b \\ c \end{vmatrix}, \quad Z_2 = \begin{vmatrix} 1 \\ -i \\ 0 \end{vmatrix} = \begin{vmatrix} a^* \\ b^* \\ c^* \end{vmatrix}, \quad (4.40)$$

и из (4.32) мы находим векторы, соответствующие спинорам  $\begin{vmatrix} \psi_1 \\ \phi_1 \end{vmatrix}, \begin{vmatrix} \psi_2 \\ \phi_2 \end{vmatrix}$ :

$$\begin{vmatrix} \psi_1^2 \\ \phi_1^2 \end{vmatrix} = \begin{vmatrix} \frac{a-ib}{2} \\ -\frac{a+ib}{2} \end{vmatrix} = \begin{vmatrix} 1 \\ 0 \end{vmatrix}, \quad \begin{vmatrix} \psi_2^2 \\ \phi_2^2 \end{vmatrix} = \begin{vmatrix} \frac{a^*-ib^*}{2} \\ -\frac{a^*+ib^*}{2} \end{vmatrix} = \begin{vmatrix} 0 \\ -1 \end{vmatrix}. \quad (4.41)$$

Поскольку  $Z_1$  и  $Z_2$  инвариантны относительно вращения, мы имеем (см. (4.5)):

$$R_z Z_1 = e^{-i\theta} Z_1, \quad R_z Z_2 = e^{i\theta} Z_2. \quad (4.42)$$

Таким образом действие  $R_z$  эквивалентно умножению  $\begin{vmatrix} \psi_1^2 \\ \phi_1^2 \end{vmatrix}$  и  $\begin{vmatrix} \psi_2^2 \\ \phi_2^2 \end{vmatrix}$  на  $e^{-i\theta}$  и  $e^{i\theta}$  соответственно;

следовательно, спиноры  $\begin{vmatrix} \psi_1 \\ \phi_1 \end{vmatrix}$  и  $\begin{vmatrix} \psi_2 \\ \phi_2 \end{vmatrix}$  будут умножены на  $e^{\mp i\theta/2}$ .

Этот результат является общим: поворот на угол  $\theta$  в физическом пространстве соответствует “повороту”  $\theta/2$  в спинорном пространстве. Чтобы “доказать” это утверждение, давайте проведем некоторую “экспериментальную математику”, изучив другие соответствующие частные случаи (которые будут полезны в дальнейшем).

Пусть  $R_x, R_y$  представляют собой вращения на угол  $\theta$  в плоскостях  $y-z$  и  $z-y$  соответственно

$$R_x = \begin{vmatrix} 1 & 0 & 0 \\ 0 & \cos \theta & -\sin \theta \\ 0 & \sin \theta & \cos \theta \end{vmatrix}, \quad R_y = \begin{vmatrix} \cos \theta & 0 & \sin \theta \\ 0 & 1 & 0 \\ -\sin \theta & 0 & \cos \theta \end{vmatrix} \quad (4.43)$$

Эти соотношения можно свести в таблицу.

**Table 4.2** Rotations and spinors

Rotation axis $\mathbf{n}$	Rotation matrix	Isotropic vector $Z_1$	$\psi^2 = \frac{a-ib}{2}$	$\phi^2 = \frac{-a-ib}{2}$	Spin-up spinor $ \Phi_1\rangle = (\psi, \phi)$	Spin-down spinor $ \Phi_2\rangle = (\phi^*, -\psi^*)$	matrix $H$ $H = \begin{vmatrix} n_3 & n_1 - in_2 \\ n_1 + in_2 & -n_3 \end{vmatrix}$
$\begin{vmatrix} 1 \\ 0 \\ 0 \end{vmatrix}$	$R_x$	$\begin{vmatrix} 0 \\ 1 \\ i \end{vmatrix}$	$-\frac{i}{2}$	$-\frac{i}{2}$	$\frac{1}{2} \begin{vmatrix} 1-i \\ 1-i \end{vmatrix}$	$\frac{1}{2} \begin{vmatrix} 1+i \\ -1-i \end{vmatrix}$	$\sigma_x = \begin{vmatrix} 0 & 1 \\ 1 & 0 \end{vmatrix}$
$\begin{vmatrix} 0 \\ 1 \\ 0 \end{vmatrix}$	$R_y$	$\begin{vmatrix} -i \\ 0 \\ 1 \end{vmatrix}$	$-\frac{i}{2}$	$+\frac{i}{2}$	$\frac{1}{2} \begin{vmatrix} 1-i \\ 1+i \end{vmatrix}$	$\frac{1}{2} \begin{vmatrix} 1-i \\ -1-i \end{vmatrix}$	$\sigma_y = \begin{vmatrix} 0 & -i \\ i & 0 \end{vmatrix}$
$\begin{vmatrix} 0 \\ 0 \\ 1 \end{vmatrix}$	$R_z$	$\begin{vmatrix} 1 \\ i \\ 0 \end{vmatrix}$	1	0	$\begin{vmatrix} 1 \\ 0 \end{vmatrix}$	$\begin{vmatrix} 0 \\ -1 \end{vmatrix}$	$\sigma_z = \begin{vmatrix} 1 & 0 \\ 0 & -1 \end{vmatrix}$

В таблице 4.2 очень просто проверить уравнения на собственные значения (4.5) для  $\mathbf{R} = R_x$  и  $\mathbf{R} = R_y$ ; собственные значения всегда равны  $e^{+i\theta}$ , а собственные векторы являются изотропными

векторами. Значения  $\psi^2$  и  $\phi^2$ , приведенные в таблице, следуют сразу же. Поскольку  $\psi^2$  и  $\phi^2$  линейно зависят от  $a$  и  $b$ , если мы выполним вращение, они будут умножены на  $e^{i\theta}$ , и все работает так же, как в случае  $R_z$ . *Spin-up* спинор  $\begin{vmatrix} \psi \\ \phi \end{vmatrix}$  поворачивается умножением на  $e^{-i\theta/2}$  а *spin-down* спинор  $\begin{vmatrix} \phi^* \\ -\psi^* \end{vmatrix}$  умножением на  $e^{i\theta/2}$ .

В последнем столбце таблицы 4.2 указаны три частных случая наблюдаемого  $H$ . Мы напоминаем, что  $H$  представляет компоненты вращения в направлении  $\mathbf{n} = (n_1, n_2, n_3)$ . Для трех случаев:  $\mathbf{n} = (1, 0, 0)$ ,  $\mathbf{n} = (0, 1, 0)$ ,  $\mathbf{n} = (0, 0, 1)$  соответствующие  $H$ -матрицы являются известными спиновыми матрицами Паули  $\sigma_x$ ,  $\sigma_y$ ,  $\sigma_z$  соответственно

$$\sigma_x = \begin{vmatrix} 0 & 1 \\ 1 & 0 \end{vmatrix}, \quad \sigma_y = \begin{vmatrix} 0 & -i \\ i & 0 \end{vmatrix}, \quad \sigma_z = \begin{vmatrix} 1 & 0 \\ 0 & -1 \end{vmatrix}. \quad (4.44)$$

Рассматривая  $\sigma_x$ ,  $\sigma_y$ ,  $\sigma_z$  как компоненты вектора  $\boldsymbol{\sigma}$ , мы можем записать формально:

$\mathbf{H} = \mathbf{n} \cdot \boldsymbol{\sigma} = n_1 \sigma_x + n_2 \sigma_y + n_3 \sigma_z$ . Таким образом,  $\sigma_x$ ,  $\sigma_y$ ,  $\sigma_z$  представляют компоненты вращения в направлениях трех осей, а  $\mathbf{H}$  представляет компонент вращения в направлении  $\mathbf{n}$ . Конечно, эти компоненты являются не числами, а матрицами. Собственные значения спиновых матриц равны  $\pm 1$  (см. (4.19)), а собственные векторы являются соответствующими спинорами для состояний со спином вверх и спином вниз.

Поучительно сравнить представление ортогональных состояний в реальных трехмерных пространстве к этому в гильбертовом пространстве. Две противоположные пространственные ориентации спина ( $-\frac{1}{2}$ ) частицы, вверх ( $\uparrow$ ) и вниз ( $\downarrow$ ), находятся на расстоянии  $180^\circ$  друг от друга. Но в гильбертовом пространстве, ортогональные векторы или спиноры ориентированы перпендикулярно, на расстоянии  $90^\circ$  друг от друга. Это объясняет появление половинных углов (таких как  $\theta/2$ ) в формулах, включающих спиноры.

### 4.3.1 Spinors in Spherical Coordinates

Поучительный альтернативный подход к предыдущим результатам можно найти, выразив  $\mathbf{n} = (n_1, n_2, n_3)$  в сферических полярных координатах. Поскольку  $\mathbf{n}$  лежит на единичной сфере, мы находим для ее компонентов  $n_1 = \sin \theta \cos \varphi$ ,  $n_2 = \sin \theta \sin \varphi$ ,  $n_3 = \cos \theta$ . Обратите также внимание на комбинации:  $n_1 \pm in_2 = \sin \theta e^{\pm i\varphi}$ . Эрмитов оператор  $H$  в уравнении (4.18) может быть выражен в сферических координатах как

$$H = \mathbf{n} \cdot \boldsymbol{\sigma} = \begin{vmatrix} n_3 & n_1 - in_2 \\ n_1 + in_2 & -n_3 \end{vmatrix} = \begin{vmatrix} \cos \theta & \sin \theta e^{-i\varphi} \\ \sin \theta e^{i\varphi} & -\cos \theta \end{vmatrix}. \quad (4.45)$$



Ранее было установлено, что собственные значения вращения в любом направлении равны  $\pm 1$ , которые мы также называем spin-up ( $\uparrow$ ) и spin-down ( $\downarrow$ ) соответственно. Теперь пусть  $|\Psi(\theta)\uparrow\rangle = \begin{pmatrix} \psi \\ \phi \end{pmatrix}$  - собственный вектор  $H$  с собственным значением  $+1$ , так что

$$\begin{pmatrix} \cos\theta & \sin\theta e^{-i\varphi} \\ \sin\theta e^{i\varphi} & -\cos\theta \end{pmatrix} \begin{pmatrix} \psi \\ \phi \end{pmatrix} = \begin{pmatrix} \psi \\ \phi \end{pmatrix}. \quad (4.46)$$

Раскрыв матричное уравнение, мы находим

$$(\cos\theta)\psi + (\sin\theta e^{-i\varphi})\phi = \psi, \quad (\sin\theta e^{i\varphi})\psi - (\cos\theta)\phi = \phi. \quad (4.47)$$

Второе уравнение может быть преобразовано в

$$(\sin\theta e^{i\varphi})\psi - (1 + \cos\theta)\phi = 0. \quad (4.48)$$

Очевидным решением является  $\psi = \text{const}(1 + \cos\theta)$ ,  $\phi = \text{const}\sin\theta e^{i\varphi}$ . Константа может быть определена условием нормализации  $|\psi|^2 + |\phi|^2 = 1$ , что приводит к

$$\text{const} = \pm 1/\sqrt{2 + 2\cos\theta}.$$

Выбрав знак  $+$ , мы можем написать

$$\psi = \frac{1 + \cos\theta}{\sqrt{2 + 2\cos\theta}} \quad \phi = \frac{\sin\theta e^{i\varphi}}{\sqrt{2 + 2\cos\theta}}. \quad (4.49)$$

Теперь мы используем два тригонометрических тождества для половинных углов

$$\sqrt{\frac{1 + \cos\theta}{2}} = \cos\frac{\theta}{2} \quad \sin\theta = 2\sin\frac{\theta}{2}\cos\frac{\theta}{2}, \quad (4.50)$$

что упрощает (4.49) до

$$\psi = \cos\frac{\theta}{2}, \quad \phi = \sin\frac{\theta}{2} e^{i\varphi}. \quad (4.51)$$

Наконец, спинор для собственного значения  $+1$  (спин-вверх  $\uparrow$ ) может быть записан:

$$|\Psi(\theta)\uparrow\rangle = \begin{pmatrix} \cos(\theta/2) \\ \sin(\theta/2)e^{i\varphi} \end{pmatrix}. \quad (4.52)$$

С помощью аналогичного анализа для собственного значения  $-1$  (спин-вниз  $\downarrow$ ) можно показать, что

$$|\Psi(\theta)\downarrow\rangle = \begin{pmatrix} \sin(\theta/2) \\ -\cos(\theta/2)e^{i\varphi} \end{pmatrix}. \quad (4.53)$$

Совершенно ясно, что спиноры (4.52) и (4.53) взаимно ортогональны.

Для этого гильбертова пространства базисными спинорами являются состояния спин-вверх  $|\uparrow\rangle$  и спин-вниз  $|\downarrow\rangle$  вдоль вертикальной оси ( $\theta = 0$ ):

$$|\uparrow\rangle = \begin{pmatrix} 1 \\ 0 \end{pmatrix} \quad |\downarrow\rangle = \begin{pmatrix} 0 \\ 1 \end{pmatrix}. \quad (4.54)$$

Таким образом, спиноры (4.52) и (4.53) могут быть выражены в виде линейных комбинаций

$$|\Psi(\theta)\uparrow\rangle = \cos\frac{\theta}{2}|\uparrow\rangle + \sin\frac{\theta}{2}e^{i\varphi}|\downarrow\rangle, \quad |\Psi(\theta)\downarrow\rangle = \sin\frac{\theta}{2}|\uparrow\rangle - \cos\frac{\theta}{2}e^{i\varphi}|\downarrow\rangle. \quad (4.55)$$

При измерении  $z$ -спиновой компоненты вероятности наблюдения спин-вверх и спин-вниз в состоянии  $|\Psi(\theta)\uparrow\rangle$  равны соответственно,

$$p(\uparrow) = |\langle\uparrow|\Psi(\theta)\rangle|^2 = \cos^2\frac{\theta}{2} \quad p(\downarrow) = |\langle\downarrow|\Psi(\theta)\rangle|^2 = \sin^2\frac{\theta}{2}. \quad (4.56)$$

Следует отметить, что эти соотношения применимы к одному электронному спину. В следующей главе мы будем иметь дело с аналогичными измерениями в двухэлектронной системе.